

Stromlaufplan des sowjetischen transistorisierten Oszillografen C 1-49 (Bei neueren Geräten veränderte Netzteilschaltung)

Fortsetzung von Seite 391

Informations-
systeme; moderne

Bestell-Nr. IX A-2190

W. W. Bykov

Digitale Modellierung in der statistischen Radiotechnik

Verlag Sowjetskoje radio, Moskau 1971
328 Seiten, 53 Bilder, 5 Tafeln, Preis 5,05 M

Aus dem Inhalt: mathematische Modellierung von Prozessen in elektronischen Universal-Digitalrechnern; ökonomische Algorithmen für die digitale Modellierung von Funktionssignalen, Störungen, zufälligen Prozessen und Umwandlungen von Signalen beim Durchlaufen linearer und nichtlinearer Systeme im Computer; Anwendung der digitalen Modellierung zur Lösung von Problemen der statistischen Radiotechnik und Funkortung.

Bestell-Nr. IX E-2946

N. N. Saweta

Einrichtungen für die Ein- und Ausgabe der Daten bei elektronischen Universal-Digitalrechnern

Verlag Maschinostrojenije, Moskau 1971
296 Seiten, Preis 6,20 M

Der Verfasser erläutert manuelle und automatische Einrichtungen für die Ein-

Fortsetzung von Seite 386

Spannungsbabill über D_1 und D_2 zu klein, um I_3 zu sättigen. Analog der im Bild 1 gezeigten Schaltung ist daher das Darlingtonpaar mit T_1 und T_2 gesättigt, und die Ausgangsspannung folgt der Eingangsspannung. Der maximale Laststrom kann 1 A betragen. Die verwendete Tunneldiode hatte einen Höckerstrom von 10 mA. Wenn die Eingangsspannung sich so weit vergrößert, daß der Strom durch R_1 , R_2 und damit durch D_1 gleich 10 mA wird, schaltet die Tunneldiode D_1 auf den zweiten Zustand ihrer Kathode (größerer Spannungsabfall) um. Die Summe der Spannungsabfälle über D_1 und D_2 ist nun ausreichend, um T_3 voll durchzusteuern. Dadurch erhält der Transistor T_3 keinen Basisstrom mehr, und die Ausgangsspannung sinkt sehr schnell auf Null ab. Dieser Vorgang ist im Bild 4 gezeigt. Wie aus diesem Bild zu entnehmen ist, wird die Ausgangsspannung nicht zugeschaltet, nachdem die Eingangsspannung wieder ihren Nennwert erreicht. Dazu muß die Spannung an E soweit verringert werden, daß der Strom durch die Tunneldiode unter den Wert ihres Talstroms absinkt. Dann schaltet D_1 auf niedrigeren Spannungsabfall um, und der Transistor T_3 sperrt. Die eingesetzte Tunneldiode hatte einen Talstrom von 0,7 mA. Daraus resultiert, daß die Schaltung im Bild 3 bei einer Eingangsspannung von 1,2 V wieder in ihren Arbeitszustand zurückkippt. Ersetzt man den Widerstand R_2 durch eine Lampe (z. B. 6 V, 25 mA), so

394

21 (1972) H. 12 radio fernsehen elektronik

gungskanälen für digitale Informationen; allgemeine Modelle, die diese Gesetzmäßigkeiten widerspiegeln, und ihre wichtigsten Sonderfälle; Methodik des Aufbaus dieser Modelle auf der Grundlage experimenteller Daten.

Bestell-Nr. IX F-4451

Digitale Meßgeräte

Verlag Energia, Leningrad 1971
160 Seiten, zahlreiche Bilder, Preis 2,85 M

In kurzer Form legt das Buch Elemente der Theorie und Konstruktionsprinzipien digitaler Meßgeräte dar, die gegenwärtig entwickelt und angewendet werden.

Bestell-Nr. IX E-2942

Die Analog- und Analog-Digital-Rechen-technik

Artikelammlung, 4. Folge
Verlag Sowjetskoje radio, Moskau 1971
312 Seiten, zahlreiche Bilder und Tafeln, Preis 4,90 M

Die aufgenannten Beiträge befassen sich mit theoretischen Fragen über die Hilfsmittel der Analog- und Analog-Digitalrechen-technik, besonders im Hinblick auf die sich abzeichnenden Entwicklungstendenzen und die perspektivische Erweiterung ihres Anwendungsgebietes.

Bestell-Nr. IX A-1672/4

Spannung an der Basis von T_3 und damit die Ausgangsspannung. Das hat aber zur Folge, daß die Spannung über R_2 ebenfalls kleiner wird. Diese positive Rückkopplung erzwingt eine beschleunigte Sättigung von T_3 , wodurch die Ausgangsspannung schnell abgeschaltet wird. Im Bild 6 ist dieser Abschaltvorgang dargestellt. Die Schaltung kippt in ihre Arbeitsstellung zurück, wenn man die Eingangsspannung kurzzeitig unter 4,5 V absenkt. Abschließend noch zwei Hinweise: Nicht immer ist es möglich, für T_1 in den einzelnen Schaltungen npn-Leistungstransistoren zu benutzen. In einem solchen Fall kann die Kombination T_1/T_2 durch eine komplementäre Darlingtonschaltung, wie sie Bild 7 zeigt, ersetzt werden. Diese Variante hat den zusätzlichen Vorteil, daß man für den pnp-Leistungsstromtransistor verwenden kann. Manchmal ist es erforderlich, parallel zu dem Ausgang ein zusätzliches Siebkondensator anzuschließen. In den Schaltungen nach Bild 1 und Bild 3 ist das ohne weiteres möglich, da deren Wirkungsweise dadurch nicht beeinflusst wird. Anders dagegen verhält sich die Schaltung im Bild 5. Hier muß der Siebkondensator entsprechend Bild 8 über eine Diode angeschlossen werden. Die Spannung über dem Widerstand R_2 kann während des Unkippens schnell genug absinken, da dann die Diode D_1 (im Bild 8) sperrt und damit der Kondensator C_1 von der Schutzschaltung getrennt wird.

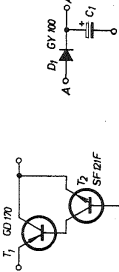


Bild 7 (links): Komplementäre Darlingtonpaar. Bild 8 (rechts): Anschlußmöglichkeit für einen Siebkondensator bei der Schaltung nach Bild 5

Transistorisierter Oszillograf C 1-49 aus der Sowjetunion

(Schaltbild s. Seite 392-393)

Der im folgenden vorgestellte und von unseren Außenhandelsgruppen importierte Oszillograf C 1-49 ist eine Weiterentwicklung des in unserem Heft 17 (1969) S. 363, beschriebenen Oszillografen C 1-33. Er ist ein Katodenstrahlröhrengert der Klasse III nach GOST 9870-61 und im Umgebungs-temperaturbereich $-30 \dots +50^\circ\text{C}$ und einer relativen Feuchte bis 95% bei $+25^\circ\text{C}$ einsetzbar. Bis auf Bildröhre und Verstärkerleitungen ist das Gerät volltransistorisiert, mit gemischter Ge- und Si-Bestückung. Über einen 11stufigen frequenzkompensierten R-Teiler (Grenzdämpfungen 1:1 und 1:2000) gelangt das abzuhaltende Signal an die als Eingangsstufe wirkende Katodenleitende (Anstelle FET wegen höherer Übersteuerbarkeit gewählt). Der Verstärker ist als symmetrischer Gegen-taktverstärker gleichstromkoppelt aus-geweitet. Die Transistorstufen sind wechselseitige Emittierfolger zur Anpassung und Emittierstufen zur Verstärkung. Nach der Stufe T_8 folgt eine Lauflzeitkeite LS_1 (T_9 und T_{10}) die so viel verzögert, daß man die Impulsvorderflanken noch beobachten kann (Kompensation der Auslöseverzögerung des Kippgeräts). Damit man nur eine Lauflzeitkeite einzusetzen braucht, erfolgt ein Übergang von Gegenakt auf Einakt und danach wieder auf Gegenakt zurück. Von T_7 wird das Signal zur Synchronisierung der Ableitenschaltung abgenommen. Die RL-Kreise im LS_1 -Zweig dienen zur breitbandigen Anpassung.

Die Synchronisierung der Zeitablenkung erfolgt bei Fremdsynchronisation über einen Diodenbegrenzer, eine Differenzverstärkerstufe T_{12}/T_{13} und einen monostabilen Tunneldiodenmultivibrator. T_{18} verstärkt den mit steilen Flanken durch

D_{12} erzeugten Synchronisierimpuls und führt ihn dem Ableitengenerator zu. Die Kipptriggung erfolgt ebenfalls über einen Tunneldiodenengenerator (T_{15} , T_{16} , D_{12}). Mit dem Regler „Stabilität“ kann der durch die Tunneldiode fließende Strom eingestellt und damit vom getriggerten zum freischwingenden Betrieb übergegangen werden. Der Sägezahnengenerator ist ein Millerintegrator mit Rücklaufsperr (T_{19} , D_{13}). Der Sägezahn wird in einem zweistufigen Gegenakt-X-Verstärker auf die zur Ableitung der Elektronenstrahlröhre notwendige Größe gebracht. Die Schaltung der Bildröhre zeigt keine Besonderheiten. Der Netzteil — als fremdgesteuerter Transverter von einer stabilisierten Niederspannung aus arbeitend — liefert folgende Spannungen für das Gerät:

Technische Daten

| | |
|---|--|
| Eingangsimpulsdauer | 0,2 $\mu\text{s} \dots 100 \text{ ms}$ |
| Y-Verstärker-Bandbreite | 1 Hz \dots 5 MHz |
| X-Verstärker-Bandbreite | 0 \dots 2 MHz |
| Eingangswiderstand des Y-Verstärkers | 1 M Ω 50 pF |
| nachbare Leuchtschirm-Engenator | 40 mm \times 36 mm M4mm \times 4 mm, 500 mW \pm 4%, 500 mV \pm 4% |
| Fremdsynchronisierung | 1 Hz \dots 5 MHz 0,5 \dots 15 V |
| Empfindlichkeit des Y-Verstärkers | 0,75 mV/V |
| Empfindlichkeit des X-Verstärkers | geringfügig und freischwingend: 0,04 $\mu\text{s} \dots$ 10 mV/cm |
| Zeitablenkung | 10 \dots 60 V, Frequenzbereich: 30 Hz \dots 1 MHz |
| Z-Amplitude (Wechselsteuerung) Spannung | 220/235 V/400 Hz oder 24 V |
| Leistungsaufnahme des Gerätes | bei Batterie 38 W bei Netze 24 V: 20 W \times 23 \times 450 |
| Abmessungen in mm | 8,5 kg |
| Durchschnittszeit zwischen zwei Fehlern | 550 Stunden |

Aus der sowjetischen Fachliteratur

Tonezeugung: Methoden der Klangfarb- und der Berechnung phasensynchronisierter Antennengruppen.
Bestell-Nr. IX E-2273/13

F. J. Tennikow u. a.

Theoretische Grundlagen der Informationstechnik

Hochschullehrbuch
Verlag Energia, Moskau 1971
424 Seiten, Preis 5,20 M

Aus dem Inhalt: Grundlagen der Informationstheorie; Kodierung und Dekodierung, Modulation und Demodulation; Wahnehmung, Übertragung und Darstellung von

Es handelt sich um Titel in russischer Sprache, die dem Neuerscheinungsdiens des Leipziger Kommissions- und Großhandels (LKG), Abt. Importbuch, entnommen sind. Diese Bücher sind durch jede Buchhandlung beim Leipziger Kommissions- und Großbuchhandel, 701 Leipzig, Postfach 525, zu beziehen.

Antennen

Sammelband, 13. Folge
Verlag Swias, Moskau 1971
72 Seiten, zahlreiche Bilder und Tafeln, Preis 1,40 M

Elektronische Musikinstrumente

Das Buch enthält Artikel über die Synthese von Diagrammen sphärischer Antennen und Polarisationsdiagrammen von Spiegelantennen. Verschiedene Artikel behandeln Probleme der Projektierung von Antennen für Radioastronomie

radio fernsehen elektronik 21 (1972) H. 12 391

Fortsetzung auf Seite 394